



МОСКОВСКИЙ ГОСУДАРСТВЕННЫЙ УНИВЕРСИТЕТ ИМЕНИ М. В. ЛОМОНОСОВА  
Факультет вычислительной математики и кибернетики  
Кафедра системного анализа

Отчёт по практикуму

# «Эллипсоидальные оценки для множества разрешимости»

*Студент 415 группы*  
К. И. Салихова

*Руководитель практикума*  
к.ф.-м.н., доцент И. В. Востриков

## Содержание

<b>1</b>	<b>Постановка задачи</b>	<b>3</b>
<b>2</b>	<b>Внутренние и внешние оценки для суммы эллипсоидов</b>	<b>3</b>
2.1	Внешняя оценка . . . . .	3
2.2	Внутренняя оценка . . . . .	4
<b>3</b>	<b>Эллипсоидальные оценки для интеграла</b>	<b>4</b>
3.1	Внешняя оценка . . . . .	4
3.2	Внутренняя оценка . . . . .	4
<b>4</b>	<b>Эллипсоидальное оценивание множества разрешимости</b>	<b>5</b>
4.1	Внешняя оценка . . . . .	6
4.2	Внутренняя оценка . . . . .	6
<b>5</b>	<b>Описание алгоритма</b>	<b>7</b>
<b>6</b>	<b>Примеры работы алгоритма</b>	<b>7</b>

# 1 Постановка задачи

Рассматривается линейная управляемая система:

$$\begin{cases} \dot{x}(t) = A(t)x(t) + B(t)u(t), & t \in [t_0, t_1], \\ x(t_1) \in \mathcal{E}(x_1, X_1), \\ u(t) \in \mathcal{E}(p(t), P(t)). \end{cases} \quad (1)$$

Здесь  $u(t) \in \mathbb{R}^m$ ,  $x(t) \in \mathbb{R}^n$ ,  $x_1 \in \mathbb{R}^n$ ,  $X_1 \in \mathbb{R}^{n \times n}$ ,  $X_1 = X_1^* > 0$ ,  $A(t) \in \mathbb{R}^{n \times n}$ ,  $B(t) \in \mathbb{R}^{n \times m}$ ,  $p(t) \in \mathbb{R}^m$ ,  $P(t) \in \mathbb{R}^{m \times m}$ ,  $P(t) = P^*(t) > 0$  при любых  $t$  из  $[t_0, t_1]$ . Функции  $A(t)$ ,  $B(t)$ ,  $p(t)$ ,  $P(t)$  непрерывны на  $[t_0, t_1]$ .

Необходимо построить:

1. Внутренние и внешние эллипсоидальные оценки множества разрешимости системы (1).
2. Проекция множества разрешимости на двумерную плоскость.
3. Трёхмерную проекцию множества разрешимости.

## 2 Внутренние и внешние оценки для суммы эллипсоидов

Обозначим эллипсоид с центром  $q \in \mathbb{R}^n$  и матрицей конфигурации  $Q \in \mathbb{R}^{n \times n}$ ,  $Q = Q^* > 0$

$$\mathcal{E}(q, Q) = \{x: \langle (x - q), Q^{-1}(x - q) \rangle \leq 1\}.$$

Получим верхние и нижние оценки суммы по Минковскому  $\mathcal{E}_-$ ,  $\mathcal{E}_+$  конечного числа эллипсоидов  $\mathcal{E}_1, \dots, \mathcal{E}_n$ :

$$\mathcal{E}_- \subset \mathcal{E}_1 + \dots + \mathcal{E}_n \subset \mathcal{E}_+.$$

### 2.1 Внешняя оценка

Пусть  $p_1, \dots, p_n > 0$ . Покажем, что

$$\mathcal{E}_+ = (p_1 + \dots + p_n) \left( \frac{Q_1}{p_1} + \dots + \frac{Q_n}{p_n} \right)$$

является внешней оценкой.

Действительно,

$$\begin{aligned} \rho(l|\mathcal{E}_+)^2 &= \sum_{i=1}^n \langle l, Q_i l \rangle + \sum_{i>j} \left( \frac{p_j}{p_i} \langle l, Q_i l \rangle + \frac{p_i}{p_j} \langle l, Q_j l \rangle \right) \geq \\ &\geq \sum_{i=1}^n \langle l, Q_i l \rangle + 2 \sum_{i>j} \sqrt{\langle l, Q_i l \rangle \langle l, Q_j l \rangle} = \rho(l|\mathcal{E}_1 + \dots + \mathcal{E}_n)^2. \end{aligned}$$

Равенство здесь достигается тогда и только тогда, когда  $p_i = \sqrt{\langle l, Q_i l \rangle}$ ,  $i = 1, \dots, n$ . Таким образом, опорный вектор  $\mathcal{E}_+$  по направлению  $l$  совпадает с опорным вектором  $\mathcal{E}_1 + \dots + \mathcal{E}_n$ , и потому

$$\mathcal{E}_1 + \dots + \mathcal{E}_n = \bigcap_{l \in S_1} \mathcal{E}_+(l).$$

## 2.2 Внутренняя оценка

Пусть матрица конфигурации для  $\mathcal{E}_-$

$$Q_- = Q_*^* Q_*, \quad Q_* = \sum_{i=1}^n S_i Q_i^{\frac{1}{2}},$$

где  $S_i$  — ортогональные матрицы.

С помощью неравенства Коши–Буняковского можно показать, что  $Q_-$  действительно является внутренней оценкой, и, более того  $\rho(l|\mathcal{E}_-) = \rho(l|\mathcal{E}_1 + \dots + \mathcal{E}_n)$  в том и только том случае, когда  $S_i Q_i^{\frac{1}{2}} l = \lambda_i S_1 Q_1^{\frac{1}{2}} l$ .

## 3 Эллипсоидальные оценки для интеграла

Рассмотрим выражение

$$I(t) = \mathcal{E}_0(0, Q_0) + \int_{t_0}^t \mathcal{E}(0, Q(\tau)) d\tau$$

— интеграл от эллипсоида  $\mathcal{E}(0, Q(t))$  по переменной  $\tau \in [t_0, t]$ . Введем разбиение  $\{\tau_i\}_{i=1}^N$  отрезка интегрирования  $[t_0, t]$  и будем представлять интеграл в виде сумм

$$I(t) = \lim_{N \rightarrow \infty} I_N,$$

$$\text{где } I_N = \mathcal{E}_0 + \sum_{i=1}^N \sigma \mathcal{E}_i, \quad \sigma = \frac{t - t_0}{N}, \quad \mathcal{E}_i = \mathcal{E}(0, Q(\tau_i)).$$

### 3.1 Внешняя оценка

Матрица конфигурации внешней оценки интегральной суммы находится по формуле

$$\begin{aligned} Q_+^N &= \left( p_0 + \sum_{i=1}^N p_i \right) \left( \frac{Q_0}{p_0} + \sum_{i=1}^N \frac{Q_i \sigma^2}{p_i} \right) = \left\{ p_0 = \langle l, Q_0 l \rangle^{\frac{1}{2}}, \quad p_i = \sigma \langle l, Q_i l \rangle^{\frac{1}{2}} \right\} = \\ &= \left( p_0 + \sum_{i=1}^N \sigma \langle l, Q_i l \rangle^{\frac{1}{2}} \right) \left( \frac{Q_0}{p_0} + \sum_{i=1}^N \sigma \frac{Q_i}{\langle l, Q_i l \rangle^{\frac{1}{2}}} \right). \end{aligned}$$

При стремлении  $N$  к бесконечности получим следующую матрицу конфигурации для внешней оценки интеграла:

$$Q(\tau) = \left( p_0 + \int_{t_0}^t p(\tau) d\tau \right) \left( \frac{Q_0}{p_0} + \int_{t_0}^t \frac{Q(\tau)}{p(\tau)} d\tau \right).$$

Таким образом, интеграл аппроксимируется пересечением эллипсоидов по различным направлениям  $l$ , то есть  $I(t) = \bigcap_{\|l\|=1} \mathcal{E}_+(l)$ .

### 3.2 Внутренняя оценка

Аналогичными рассуждениями приходим к тому, что матрица конфигурации нижней оценки для интеграла имеет вид

$$Q_- = Q_*^* Q_*, \quad Q_* = S_0 Q_0^{\frac{1}{2}} + \int_{t_0}^t S(\tau) Q^{\frac{1}{2}}(\tau) d\tau,$$

причем оценка будет точной по направлению  $l$ , если

$$S_0 Q_0^{\frac{1}{2}} l = \lambda(\tau) S(\tau) Q^{\frac{1}{2}}(\tau) l.$$

В качестве  $S_0$  далее будем использовать единичную матрицу.

## 4 Эллипсоидальное оценивание множества разрешимости

Будем дополнительно предполагать, что в задаче (1) выполнено  $B(t)Q(t)B^*(t) > 0$  при любых  $t \in [t_0, t]$ . Оценим множество разрешимости  $\mathcal{W}[t]$ .

Найдем траекторию  $x(t)$  по формуле Коши:

$$x(t) = X(t, t_1)x(t_1) + \int_{t_1}^t X(t, \tau)B(\tau)u(\tau)d\tau,$$

где  $X(t, \tau)$  — фундаментальная матрица, полученная как решение задачи Коши:

$$\begin{cases} \frac{\partial X(t, \tau)}{\partial \tau} = -X(t, \tau)A(\tau), \\ X(t, t) = I. \end{cases} \quad (2)$$

Множество разрешимости можно представить следующим образом:

$$\mathcal{W}(t, t_1, \mathcal{E}(x_1, X_1)) = X(t, t_1)\mathcal{E}(x_1, X_1) - \int_t^{t_1} X(t, \tau)B(\tau)\mathcal{E}(p(\tau), P(\tau))d\tau.$$

**Утверждение 1.** Пусть  $\mathcal{E}(p, P)$  — эллипсоид с центром  $p$  и матрицей конфигурации  $P$ , а  $B$  — невырожденная квадратная матрица тогда  $B\mathcal{E}(p, P) = \mathcal{E}(Bp, BPB^*)$ .

**Доказательство.**

Пусть  $x \in \mathcal{E}(p, P)$ , что равносильно  $\langle x, P^{-1}x \rangle \leq 1$ .

Рассмотрим теперь  $B\mathcal{E}(p, P) = \mathcal{E}(q, Q)$ , для него будет верно

$$\langle B^{-1}x, P^{-1}B^{-1}x \rangle = \langle x, (B^{-1})^* P^{-1}B^{-1}x \rangle \leq 1.$$

Следовательно,  $Q^{-1} = (B^{-1})^* P^{-1}B^{-1}$  и  $Q = BPB^*$ , что и требовалось доказать. ■

Тогда множество  $\mathcal{W}[t]$  может быть записано в виде:

$$\begin{aligned} \mathcal{W}[t] &= \mathcal{E}(X(t, t_1)x_1, X(t, t_1)X_1X^*(t, t_1)) - \\ &\quad - \int_t^{t_1} \mathcal{E}(X(t, \tau)B(\tau)p(\tau), X(t, \tau)B(\tau)P(\tau)B^*(\tau)X^*(t, \tau))d\tau = \\ &= \mathcal{E}(X(t, t_1)x_1, X(t, t_1)X_1X^*(t, t_1)) + \int_{t_1}^t \mathcal{E}(X(t, \tau)p_B(\tau), X(t, \tau)P_B(\tau)X^*(t, \tau))d\tau. \end{aligned}$$

Здесь  $p_B(\tau) = B(\tau)p(\tau)$ ,  $P_B(\tau) = B(\tau)P(\tau)B^*(\tau)$ .

Для построения внешних и внутренних оценок множества  $\mathcal{W}[t]$  воспользуемся внешними и внутренними оценками для интеграла, которые мы получили выше.

## 4.1 Внешняя оценка

Пусть  $\mathcal{E}(q_+(t), Q_+(t))$  - внешняя эллипсоидальная оценка множества  $\mathcal{W}[t]$ . Параметры задаются формулами

$$q_+ = X(t, t_1)x_1 + \int_{t_1}^t X(t, \tau)B(\tau)q(\tau)d\tau,$$

$$Q_+(t) = \left( p_0 - \int_{t_1}^t p(\tau)d\tau \right) \left( \frac{X(t, t_1)X_1X^*(t, t_1)}{p_0} - \int_{t_1}^t \frac{X(t, \tau)B(\tau)P(\tau)B^*(\tau)X^*(t, \tau)}{p(\tau)}d\tau \right),$$

где

$$p_0 = \langle l, X(t, t_1)X_1X^*(t, t_1)l \rangle^{\frac{1}{2}},$$

$$p(\tau) = \langle l, X(t, \tau)B(\tau)Q(\tau)B^*(\tau)X^*(t, \tau)l \rangle^{\frac{1}{2}}.$$

Выбранные таким образом  $p$  позволяют получить оценку, точную в направлении  $l$ .

## 4.2 Внутренняя оценка

Теперь получим внутреннюю эллипсоидальную оценку  $\mathcal{E}(q_-(t), Q_-(t))$ .

Будем искать матрицу конфигурации в виде:

$$X_-(t) = Q_*^*(t)Q_*(t),$$

$$\text{где } Q_*(t) = X_1^{\frac{1}{2}}X^*(t, t_1) + \int_t^{t_1} S(\tau)P^{\frac{1}{2}}(\tau)B^*(\tau)X^*(t_1, \tau)d\tau.$$

Эта оценка точна по направлению  $l$ , если для любых  $\tau$  будет выполнено:

$$\lambda(\tau)X_1^{\frac{1}{2}}X^*(t, t_1)l = S(\tau)^{\frac{1}{2}}(\tau)B^*(\tau)X^*(t, \tau)l. \quad (3)$$

Матрица  $S(\tau)$  ортогональна, поэтому:

$$\lambda(\tau) = \frac{\|P^{\frac{1}{2}}(\tau)B^*(\tau)X^*(t, \tau)l\|}{\|X_Q^{\frac{1}{2}}X^*(t, t_1)l\|}.$$

Найдем теперь  $S(\tau)$  из сингулярного разложения векторов

$$a = \lambda(\tau)X_1^{\frac{1}{2}}X^*(t, t_1)l = U_1d_1v_1,$$

$$b = P^{\frac{1}{2}}(\tau)B^*(\tau)X^*(t, \tau)l = U_2d_2v_2.$$

Здесь  $U_1, U_2$  — ортогональные матрицы,  $d_1 = (d_{11}, 0, \dots, 0)^T$ ,  $d_2 = (d_{21}, 0, \dots, 0)^T$ ,  $v_1, v_2 \in \{-1, 1\}$ . Так как нормы векторов совпадают, и  $d_1 \geq 0$ ,  $d_2 \geq 0$ , верно  $d_1 = d_2$ .

Положим  $S(\tau) = \frac{v_1}{v_2}U_1U_2^*$ . Тогда  $S(\tau)$  окажется ортогональной, равенство (3) будет выполнено.

## 5 Описание алгоритма

1. Зададим входные данные.
2. Зададим количество направлений  $N$ . Сгенерируем  $N$  направлений  $l_0$ , равномерно разбивающих окружность в плоскости  $(l_1, l_2)$ .
3. Найдем фундаментальную матрицу, как функцию  $X(t, \cdot)$ , из системы (2).
4. По формулам из Раздела 4 вычислим внутренние и внешние аппроксимации для каждого направления  $l_0$ . Эти оценки являются точными по этому направлению.
5. По каждой из оценок вычислим опорный вектор по направлению  $l_0$ . Множество разрешимости - объединение этих опорных векторов.
6. Для построение аппроксимации трубки разрешимости в каждый момент времени  $t$  будем отстраивать множество разрешимости.

## 6 Примеры работы алгоритма

Сначала проиллюстрируем внешнюю и внутреннюю аппроксимацию суммы эллипсов  $\mathcal{E}(q_1, Q_1)$ ,  $\mathcal{E}(q_2, Q_2)$ ,  $\mathcal{E}(q_3, Q_3)$ , где:

$$Q_1 = \begin{pmatrix} 3 & 2 \\ 2 & 2 \end{pmatrix}, Q_2 = \begin{pmatrix} 5 & 1 \\ 1 & 2 \end{pmatrix}, Q_3 = \begin{pmatrix} 1 & -1 \\ -1 & 6 \end{pmatrix}, q_1 = \begin{pmatrix} 0 \\ 0 \end{pmatrix}, q_2 = \begin{pmatrix} 0 \\ 0 \end{pmatrix}, q_3 = \begin{pmatrix} 0 \\ 2 \end{pmatrix}.$$

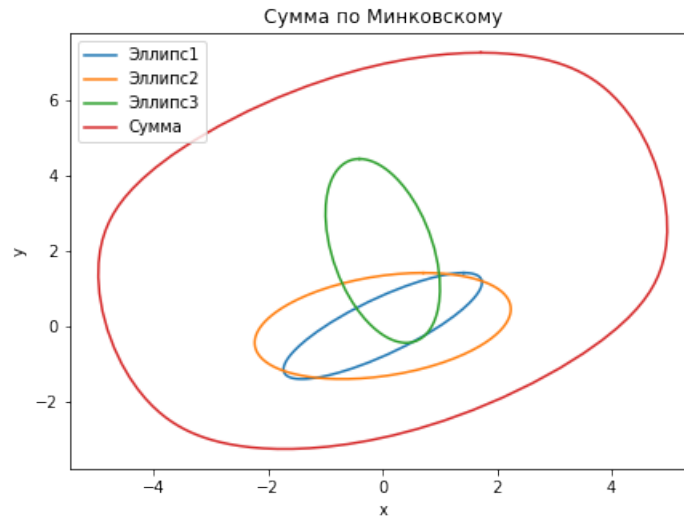


Рис. 1: Сумма эллипсов.

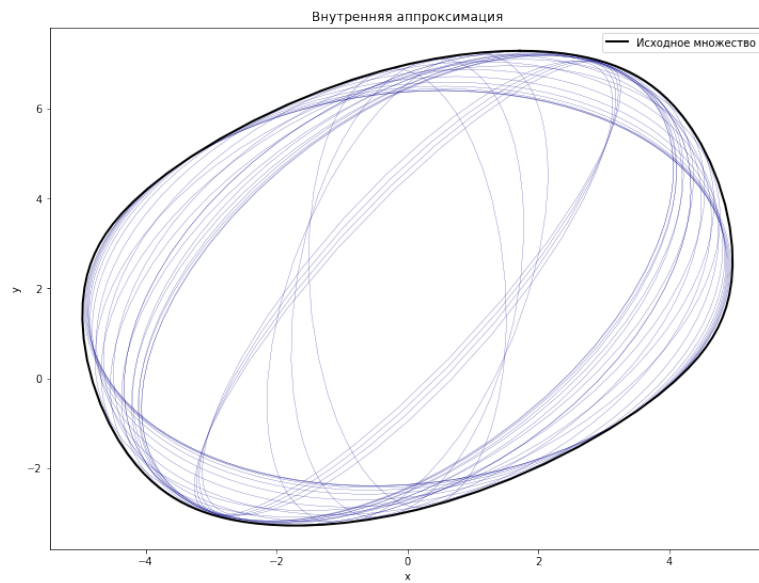


Рис. 2: Внутренние оценки.

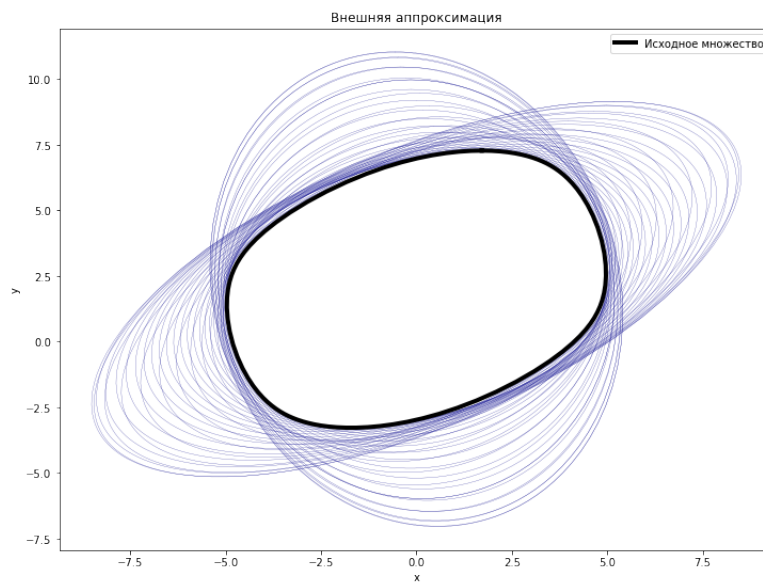


Рис. 3: Внешние оценки.



Теперь рассмотрим систему:

$$A(t) = \begin{pmatrix} \cos(t) & -\sin(t) & 0 \\ \sin(t) & \cos(t) & 0 \\ 0 & 1 & 0 \end{pmatrix}, B(t) = \begin{pmatrix} \cos(t) & -\sin(t) & 0 \\ \sin(t) & \cos(t) & 0 \\ 0 & 1 & 0 \end{pmatrix}, P(t) = \begin{pmatrix} |\cos(t)| + 1 & 0 & 0 \\ 0 & |\cos(t)| + 1 & 0 \\ 0 & 0 & 1 \end{pmatrix},$$

$$p(t) = \begin{pmatrix} t \\ 0 \\ 0 \end{pmatrix}, X_1 = \begin{pmatrix} 6 & 1 & 5 \\ 1 & 1 & 2 \\ 5 & 2 & 13 \end{pmatrix}, x_1 = \begin{pmatrix} 2 \\ 1 \\ 1 \end{pmatrix}, t_1 = 10.$$

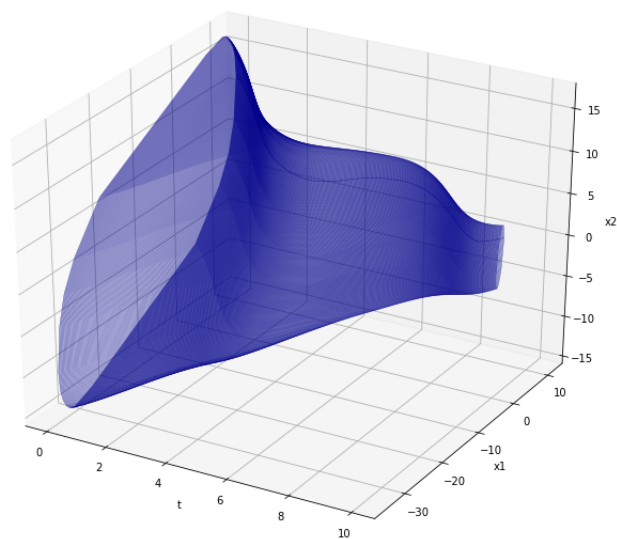


Рис. 4: Проекция множества разрешимости на на координатную плоскость  $Ox_2x_3$ .

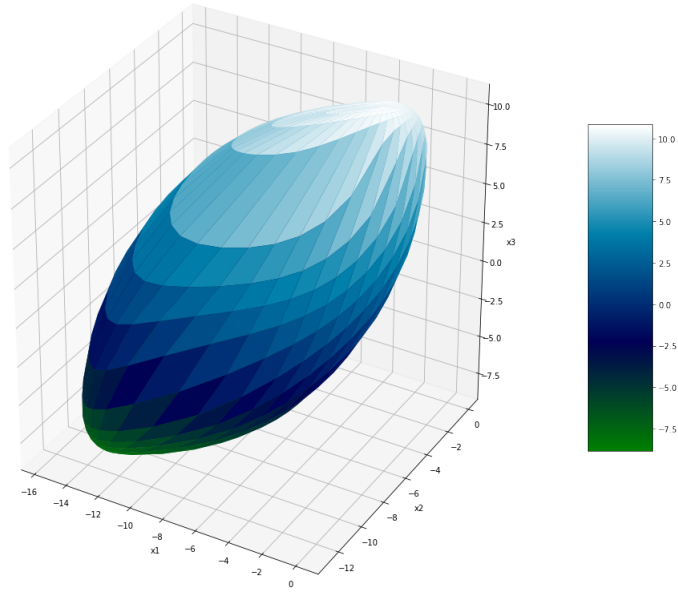


Рис. 5: Множество разрешимости в момент  $t = 5$ .

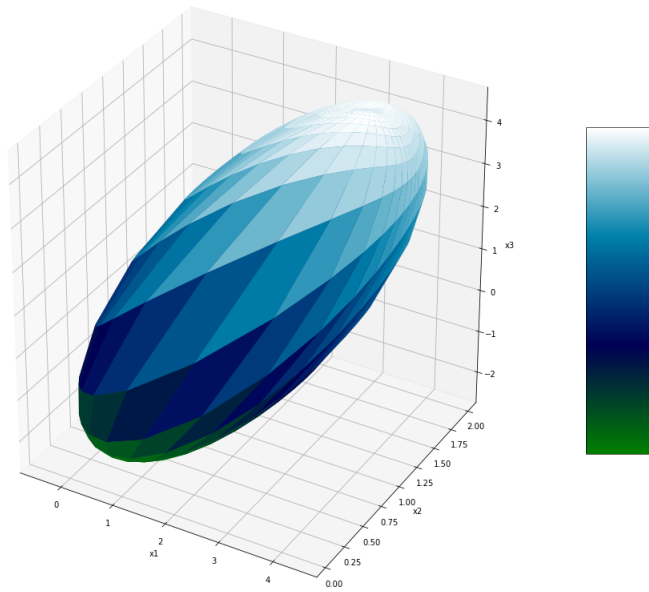


Рис. 6: Множество разрешимости в момент  $t = 10$ .